

# ИССЛЕДОВАНИЕ ОТРЫВНОГО ТЕЧЕНИЯ ЗА ПЛОСКИМИ И ПРОСТРАНСТВЕННЫМИ ТЕЛАМИ ПРИ ДЕЙСТВИИ НА НИХ СФЕРИЧЕСКОЙ УДАРНОЙ ВОЛНЫ

*A. N. Иванов, B. I. Михайлов*

(Москва)

Аэродинамические характеристики тел при их обтекании нестационарным потоком газа за сферической ударной волной существенно отличаются от значений, соответствующих установившемуся течению, и имеют существенно иную зависимость от основных параметров потока (чисел Маха и Рейнольдса) по сравнению со случаем стационарного обтекания [1, 2]. Эти изменения связаны в первую очередь с различиями в картине формирования вихрей и отрыва потока в стационарном и нестационарном случаях, что приводит к изменению распределения давления по телу.

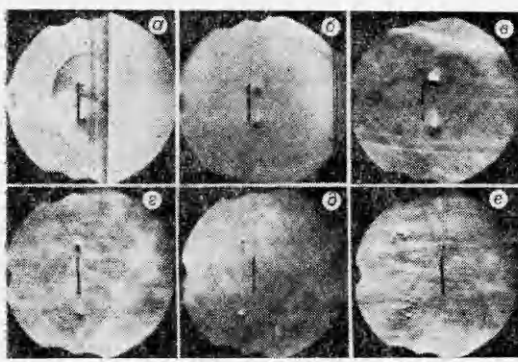
Данная работа посвящена изучению особенностей картины течения за плоскими телами конечного удлинения, а также некоторыми пространственными телами с плоским срезом при набегании на них сферической ударной волны. В качестве плоских тел использовались круглый диск, квадратная пластина и эллиптические пластины различного удлинения; в качестве пространственных — полусфера и цилиндр конечной длины, установленный торцом к потоку.

**1. Постановка эксперимента.** Исследуемое тело с помощью тонких проволочных растяжек подвешивалось в поле зрения оптической системы, состоящей из полутеневого прибора Типлера типа ИАБ-451, скоростного фотoregistratora СФР-2М в режиме непрерывной развертки и осветителя, формирующего серию коротких световых импульсов. Для генерации сферической ударной волны использовался взрыв заряда конденсированного взрывчатого вещества, установленного на расстоянии  $R$  от тела. Измерение параметров ударной волны, падающей на тело, производилось с помощью пьезоэлектрического датчика статического давления, соединенного с электронной регистрирующей аппаратурой.

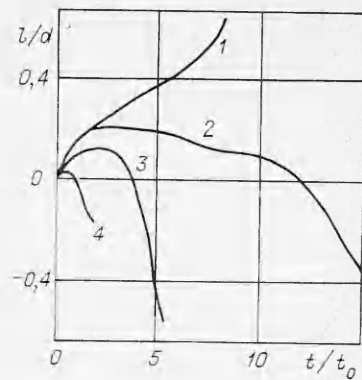
Начальное давление воздуха в экспериментах менялось в диапазоне  $p_0 = (0,1-2) \cdot 10^5$  Па, расстояние от тела до центра взрыва  $R = 0,3-5$  м, характерный размер тела  $d = 9-200$  мм. Выбор значений  $p_0$ ,  $d$ ,  $R$  и величины заряда взрывчатого вещества производился таким образом, чтобы исследовать влияние на картину течения одного из безразмерных параметров процесса — чисел Маха, Рейнольдса и Струхала при сохранении постоянными двух других параметров. Здесь  $M = u_1/c_1$ ;  $Re = \rho_1 u_1 d / \mu_1$ ;  $Sh = d/u_1 t_+$ ;  $\rho_1$ ,  $u_1$ ,  $\mu_1$ ,  $c_1$  — соответственно плотность, скорость, вязкость газа и скорость звука в нем; индекс 1 относится к значениям непосредственно за фронтом волны;  $t_+$  — время действия фазы сжатия волны.

**2. Вихревая картина за круглым диском.** Характерные снимки из кинограммы процесса обтекания диска диаметром  $d = 50$  мм, установленного перпендикулярно набегающему потоку газа (угол атаки  $\alpha = 90^\circ$ ), приведены на фиг. 1, *a—e*. Величины безразмерных параметров в данном случае составляли:  $M = 0,28$ ,  $Re = 4,5 \cdot 10^5$ ,  $Ch = 0,16$ . Приведенное к безразмерному виду ( $\tau = t/t_+$ ) время от начала воздействия волны на тело до момента съемки соответственно  $\tau = 0,04; 0,11; 1; 1,8; 2,3; 3,2$ .

При прохождении ударной волной кромки диска перед телом и за ним образуются кольцевые тангенциальные разрывы, разделяющие области за криволинейной отраженной волной, волной разрежения, идущей по передней плоскости диска, и волной сжатия, распространяющейся по его задней поверхности. Вследствие отрыва потока на кромке диска вблизи нее образуется торOIDальный вихрь, закручивающийся назад. В начальный момент времени указанная картина течения у края диска полностью подобна обтеканию плоской ударной волной кромки пластины бесконечного удлинения [3]. В дальнейшем появляются отличия — у пластины после роста вихря возникает его отрыв, а затем вихрь уносится потоком. Для диска начальный период формирования вихря, сопровождающийся ростом его размеров и расстояния до плоскости диска, заканчивается периодом стабилизации. В этот период, несмотря на изменение давления, плотности



Ф и г. 1

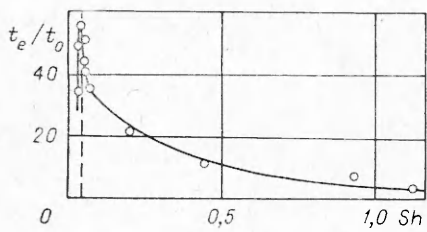


Ф и г. 2

и скорости газа за фронтом ударной волны, расстояние  $l$  между вихревым кольцом и плоскостью диска практически не изменяется и на кривой  $l(t)$  имеется протяженное плато (фиг. 2, кривая 2). За положительное направление  $l$  принято смещение кольца от диска по ходу фронта волны, в качестве характерного времени при приведении к безразмерному виду величины  $t$  — время  $t_0 = d/u_1$  прохождения частицами газа пути, равного характерному размеру тела. По окончании фазы сжатия волны вихревое кольцо начинает двигаться к диску и через некоторое время пересекает его плоскость. Максимальная скорость движения кольца достигает 20—30% от скорости потока на фронте волны. При дальнейшем движении кольца по направлению к центру взрыва оно удаляется от диска, при этом кольцо постепенно уменьшается по интенсивности, начинает терять плоскую форму, а затем разрушается. Диаметр кольца монотонно растет по времени и к моменту разрушения вихря в 1,7—2 раза превосходит диаметр диска.

Указанная картина течения в ближнем следе за диском при набегании на него сферической ударной волны совпадает с картиной течения за круговым конусом, расположенным под нулевым углом атаки [2]. Время существования вихревого кольца  $t_e$ , приведенное к безразмерному виду, в исследованном случае составляет  $t_e/t_0 = 20$ , что близко к значению для кругового конуса при тех же параметрах потока. Исследования картины течения показали, что динамика развития вихревого кольца и время его существования практически не зависят от значений чисел Рейнольдса и Маха, изменяющихся последовательно в диапазонах:  $0,07 \leq M \leq 0,5$  при  $Re = 2,25 \cdot 10^5$ ,  $Sh = 0,56$ ;  $4,5 \cdot 10^4 \leq Re \leq 9 \cdot 10^5$  при  $M = 0,3$ ,  $Sh = 0,16$ .

Стабилизация положения вихревого кольца при изменяющихся параметрах внешнего потока может быть объяснена следующим образом. Как известно, изолированное вихревое кольцо в неподвижном газе движется относительно его с тем большей скоростью, чем меньше его поперечное сечение [4]. При формировании кольца за диском вектор скорости кольца направлен навстречу вектору набегающего потока. За фронтом сферической ударной волны имеет место уменьшение давления газа. Это приводит к уменьшению плотности газа внутри вихревой области при сохранении общей интенсивности кольца (вязкими потерями в первом приближении пренебрегаем) и к соответствующему увеличению площади поперечного сечения кольца. В результате скорость движения кольца относительно внешнего потока газа должна падать со временем, но, так как скорость потока в фазе сжатия волны также монотонно уменьшается, суммарная скорость вихревого кольца в течение длительного времени близка к нулю. В фазе разрежения внешнее давление и соответственно размеры сечения вихря меняются слабо, а скорость потока газа меняет знак, в результате чего кольцо начинает двигаться к центру взрыва.



Ф и г. 3

было фиксированным —  $M = 0,28$ , число Рейнольдса в зависимости от используемой модели диска  $Re = (9-45) \cdot 10^4$ . Смещение вихревого кольца в функции времени в зависимости от режима обтекания показано на фиг. 2. Значения чисел Струхала для приведенных кривых составляют: 1 —  $Sh = 0,03$ ; 2 — 0,16; 3 — 0,7; 4 — 2,27.

При малой степени нестационарности процесса обтекания ( $Sh \leq 0,03$ ), когда скорость газа за фронтом ударной волны уменьшается со временем медленно, собственной скорости вихревого кольца оказывается недостаточно для компенсации скорости набегающего потока. В результате образовавшийся вихрь увлекается внешним потоком и начинает быстро удаляться от тела (кривая 1 на фиг. 2). На расстоянии от диска  $l \geq 0,5d$  начинается искажение формы вихревого кольца, потеря им устойчивости и быстрое разрушение. Приведенное к безразмерному виду  $t_e/t_0$  время существования вихря в этом случае оказывается малым (фиг. 3).

Увеличение степени нестационарности приводит к тому, что скорость внешнего потока изменяется со временем быстрее, в результате к моменту образования вихревого кольца скорость газа становится недостаточной для уноса вихря и его разрушения. В области значений числа Струхала  $0,037 \leq Sh \leq 0,9$  в фазе сжатия сферической волны наблюдается стабилизация положения вихревого кольца относительно вызвавшего его тела и на кривых  $l(t)$  появляются соответствующие плато (см. фиг. 2, кривые 2, 3).

Наибольшее время существования вихря  $t_e/t_0 = 55$  достигается при  $Sh = 0,04$  вблизи границы области устойчивости кольца (на фиг. 3 штриховая линия). Рост степени нестационарности ( $Sh > 0,04$ ) вызывает быстрое уменьшение относительного времени существования вихревого кольца. Это связано, по-видимому, с тем, что увеличение числа Струхала и соответствующий рост градиента скорости газа за фронтом волны ведут к уменьшению сноса вихря относительно тела. В результате более интенсивного взаимодействия вихря с телом циркуляция вихря со временем быстро уменьшается, при дальнейшем движении вихрь быстрее теряет устойчивость и разрушается. Увеличение степени нестационарности приводит также к тому, что период формирования вихря занимает все большую часть фазы сжатия ударной волны и длительность периода стабилизации вихря соответственно сокращается. При  $Sh \geq 0,9$  период стабилизации вихря полностью пропадает (кривая 4 на фиг. 2).

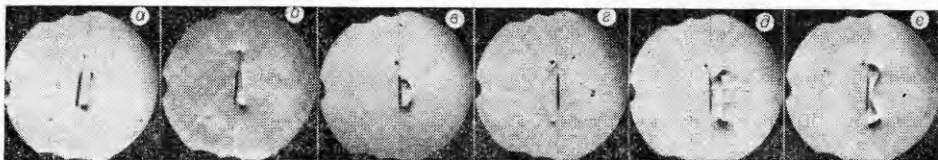
**4. Влияние угла атаки.** В экспериментах использовали диск диаметром  $d = 50$  мм, параметры процесса обтекания:  $M = 0,28$ ,  $Sh = 0,16$ ,  $Re = 4 \cdot 10^5$ . Угол атаки диска изменялся от  $90^\circ$  до  $97,5^\circ$  через  $2,5^\circ$ . Фотографии обтекания диска под углом атаки  $\alpha = 97,5^\circ$  в моменты времени  $\tau = 0,2; 1,2$  показаны на фиг. 4, а, б соответственно.

Анализ результатов показывает, что возникающий при наклоне диска скос потока около тела первоначально вызывает сдвиг вихревого кольца вдоль плоскости диска. В результате при достаточном угле наклона диска одна часть вихря полностью выдвигается в набегающий поток газа, а другая — экранируется телом. В дальнейшем находящаяся в потоке часть вихря начинает терять круглую форму, размываться и одновременно смещаться под действием экранированной части вихревого кольца навстречу потоку, причем это смещение происходит с большей скоростью, чем в осесимметричном случае (при угле атаки  $\alpha = 90^\circ$ ).

Противоположная часть вихря (на фиг. 4, а, б внизу) длительное вре-

Следует отметить, что полученная в данных экспериментах картина вихревого течения не имеет аналогов при отрывном обтекании тел стационарным и нестационарным потоками жидкости (см., например, [5—8]).

**3. Влияние степени нестационарности.** В данных экспериментах значение числа Струхала изменялось в диапазоне  $0,03 \leq Sh \leq 2,3$ , число Маха



Ф и г. 4

мя находится вблизи диска в аэродинамической тени за ним, и только после того, как скорость внешнего потока становится отрицательной, эта часть вихря увеличивается по радиусу и начинает сдвигаться к центру взрыва. Интенсивность этой части вихря примерно такая же, как при  $\alpha = 90^\circ$ , а скорость ее перемещения заметно меньше, что связано с размытием и ослаблением вихря в верхней половине кольца.

В результате за наклонным (относительно фронта волны) диском вихревое кольцо со временем также наклоняется, но в противоположную сторону, причем угол этого наклона растет с наклоном диска, кроме того, оно становится существенно несимметричным по форме поперечного сечения и интенсивности. Указанные особенности вихревого кольца за телом с углом атаки  $\alpha \neq 90^\circ$  не позволяют однозначно определить время его существования.

**5. Обтекание пластин малого удлинения.** Для определения влияния формы пластины в плане на устойчивость вихревого кольца исследовалось обтекание квадратной пластины, а также эллиптических пластин с соотношением полуосей  $b/a$ , изменяющимся в диапазоне  $b/a = 0,5 - 0,96$ . Безразмерные параметры обтекания составляли:  $M = 0,28$ ,  $Re = 4 \cdot 10^5$ ,  $Sh = 0,16$ , угол атаки пластины  $\alpha = 90^\circ$ .

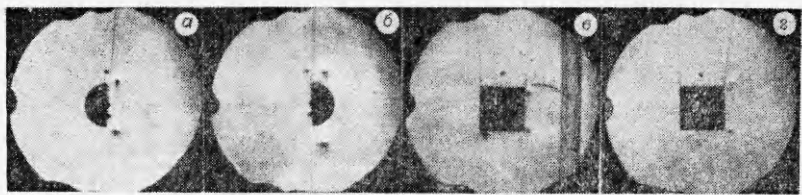
При действии ударной волны на эллиптическую пластину образующийся замкнутый вихрь вначале является плоским и имеет такую же форму в плане, что и пластина. В дальнейшем «сплюснутые» части вихревого кольца, имеющие больший радиус кривизны и соответственно меньшую скорость собственного движения, смещаются под действием потока дальше от плоскости диска, чем «вытянутые» участки. На фиг. 4, в, г показана картина течения около эллиптической пластины с соотношением полуосей  $b/a = 0,6$ . Большая ось пластины расположена в плоскости снимка, моменты времени равны:  $v - \tau = 0,15$ ,  $g - \tau = 2,14$ .

При уменьшении скорости внешнего потока участки вихря, соответствующие малой оси пластины, начинают удаляться друг от друга и одновременно двигаться к центру взрыва с большей скоростью, чем участки, соответствующие большой оси. В результате по окончании фазы сжатия волны большая и малая оси эллиптического вихревого кольца меняются местами, изменяется также взаимное продольное (в направлении потока газа) расположение различных участков кольца (см. фиг. 4, г).

В случае эллиптической пластины с соотношением полуосей  $b/a < 0,6$  скорости разных участков вихревого кольца различаются настолько сильно, что вихрь разрушается вскоре после своего образования. Аналогичный результат был получен для эллиптических конусов [2].

При взаимодействии ударной волны с квадратной пластиной вначале участки вихря, соответствующие углам пластины, отстают в своем движении от остальной части вихря. Затем они начинают двигаться быстрее и возникают продольные колебания частей вихря относительно его центра массы (см. фиг. 4,  $\delta - \tau = 0,85$ ;  $e - \tau = 1,14$ ). Амплитуда этих колебаний слабо затухает со временем, а безразмерный период колебаний в начале процесса составляет  $T/t_0 = 1,8$  ( $t_0 = d/c_1$ , где  $d$  — сторона квадрата). К моменту окончания фазы сжатия волны период колебаний увеличивается до  $T/t_0 = 2,4$ , по-видимому, вследствие увеличения поперечных размеров вихревого кольца.

**6. Обтекание тел пространственной формы с плоским торцом.** Как показывают эксперименты, явление образования устойчивых вихревых колец в нестационарном потоке газа за сферической ударной волной



Ф и г. 5

характерно для большинства тел, имеющих соотношение поперечных размеров порядка единицы, а также плоский кормовой срез, расположенный перпендикулярно набегающему потоку газа. В качестве примера на фиг. 5, *a* в момент  $\tau = 1,0$  приведено обтекание полусфера, расположенной под углом атаки  $\alpha = 0^\circ$ .

При обтекании тел, имеющих плоский передний торец, вихревое кольцо также образуется, но его устойчивость зависит от относительного удлинения тела в продольном направлении. В частности, для конуса с углом при вершине  $30^\circ$ , расположенного под углом атаки  $\alpha = 180^\circ$ , вихревое кольцо вскоре после своего образования разрушается за счет взаимодействия с боковой поверхностью конуса [2]. В то же время для полусферы, имеющей угол атаки  $\alpha = 180^\circ$ , вихревое кольцо существует примерно такое же время, как для  $\alpha = 0$ , однако расстояние между плоскостью кольца и миделем тела при  $\alpha = 180^\circ$  примерно в 1,5 раза больше (см. фиг. 5, *b*).

В случае обтекания тел, имеющих два плоских торца, на каждом из них образуется по вихревому кольцу, однако переднее кольцо обычно быстро размывается вследствие близости боковой поверхности тела и сносится потоком, в то время как задний вихрь в течение длительного времени сохраняет свою форму и расположение. Для иллюстрации на фиг. 5, *в*, *г* в моменты  $\tau = 0,07$  и  $1,07$  соответственно приведены картины обтекания кругового цилиндра, расположенного торцом к потоку.

#### ЛИТЕРАТУРА

1. Иванов А. И., Чернявский С. Ю. Исследование взаимодействия сферической ударной волны с телами.— ПМТФ, 1969, № 6.
2. Голубинский А. И., Иванов А. И., Михайлов В. И. Исследование обтекания конических тел нестационарным потоком газа за сферической ударной волной.— В кн.: Исследование нестационарных течений газа с ударными волнами. Вып. 2184. М.: ЦАГИ, 1983.
3. Шардин Т. Пример применения ударной трубы к решению задач нестационарной газовой динамики.— В кн.: Ударные трубы. М.: ИЛ, 1962.
4. Коцин И. Е., Кибель И. А., Розе И. В. Теоретическая гидромеханика. Т. 1. М.: ГИТТЛ, 1955.
5. Goldburg A., Florsheim B. H. Transition and Strouhal number for the incompressible wake of various bodies.— Phys. Fluids, 1966, vol. 9, N 1.
6. Werle H. Hydrodynamic flow visualisation.— Annual Review of Fluid Mechanics, 1973, vol. 5, p. 361.
7. Анимица В. А., Головкин В. А. и др. Исследование отрывного обтекания усеченных эллипсоидов вращения с плоской донной поверхностью.— Учен. зап. ЦАГИ, 1977, т. 8, № 3.
8. Уидиелл Ш. Структура и динамика вихревых нитей.— В кн.: Вихревые движения жидкости. М.: Мир, 1979.

Поступила 6/IV 1983 г.